

دراسة تحليلية ومحاكاة عددية للخصائص الفيزيائية

لمتغيرات انتشار الحزم الغاوصية في الفراغ الحر

باستخدام تقنية الطيف الزاوي

الدكتور الكسندر ثلاثيان

جامعة حلب - كلية العلوم - قسم الفيزياء

المخلص

إن معرفة الطيف الزاوي للأعواج المستوية تسمح لنا بدقة تحديد السعة العقدية للحزمة الغاوصية أثناء انتشارها في الفراغ الحر بين مستويين: الأول الممثل بموضع خصر الحزمة عند $z = 0$ والثاني الموازية له والممثل بأبعاد مختلفة لقيم z المتصاعدة والتي تنتشر وفق المحور z في الأوساط المتجانسة والمتماثلة المناحي.

تعتبر هذه الطريقة من الطرائق الفعالة جداً في حساب الانتشار الانعراجي لتوزيع السعة العقدية والذي يمثل بقسميه الحقيقي والنخيلي وذلك عن طريق تجزئته إلى مجموعة من الموجات المستوية، وتحليل جميع مركبات هذه الموجات المستوية كل على حدى باستخدام القيم الذاتية. تدعى هذه الخطوات بطريقة تحليل الطيف الزاوي.

يعتمد البحث على دراسة تحليلية ومحاكاة عددية للخصائص الفيزيائية لمتغيرات انتشار الحزم الغاوصية من النمط الأساسي TEM_{00} في الفراغ الحر باستخدام تقنية الطيف الزاوي لكل من ليزر: $He - Ne$ ذي طول موجة $\lambda = 632.8nm$ وليزر الأرجون المؤين ذي طول موجة $\lambda = 514.4nm$ ومن ثم استنتاج المعادلات الممثلة لتلك المتغيرات باستخدام زوج من تحويلات فورييه بطريقة انتشار الطيف الزاوي بتابعية متغيرات التواتر الزاوي المكاني.

تتمثل هذه الدراسة بكتابة خوارزمية خاصة عن طريق برنامج حاسوبي لحساب انعراج حزم غاوصية للأنعاط الليزرية التي بواسطتها يمكن دراسة العديد من التطبيقات البصرية.

الكلمات المفتاحية: انتشار الطيف الزاوي - الحزمة الغاوصية - المحاكاة العددية - النمط الأساسي TEM_{00}

مقدمة

نعلم أن هناك شكلاً للمعادلة الموجية: الأمواج المستوية والأمواج الكروية، والتي تستخدم في تمثيل حلولاً للمعادلة الموجية في كل من علمي الضوء الهندسي والضوء الفيزيائي (Born & Wolf, 1999). لكن في العديد من النماذج الفيزيائية (بما في ذلك نماذج الضوء الصادر من المصادر الليزرية) يكون هذين الشكلين غير كافيين. بخلاف الحزم الليزرية عندما تعمل ضمن مجال رايلي $z \gg z_0$ التي يمكن اعتبار الحزمة الليزرية أنها تملك أمواج مستوية عند انتشارها في الفراغ الحر أو في الأوساط المتجانسة والمتماثلة المناحي، ورغم ذلك فإن توزيع شدتها لا يكون منتظماً كون سطوح الجبهات الموجية لطورها منحنية بشكل قليل، بالإضافة إلى أن الانفراج الزاوي أو تقارب الحزم الليزرية المعروفة لا يمكن وصفها كأموح كروية (Svelto, 1989).

استخدم العالم كوغلنيك (Kogelnik, 1979) ما يُسمى بالحزم الغاوصية كتمثيل للحزم الليزرية، وهي عبارة عن حزم متناظرة أسطوانياً، والتي تمثل بمعادلة موجية في تقريب القطع المكافئ، ولا بد أن ندرك أن أغلب الحزم الغاوصية المنتشرة في الفراغ الحر هي عبارة عن أنماط كهروطيسية عرضانية يرمز لها اختصاراً (Transverse Electro Magnetic TEM_{mn})، بتعبير آخر تقع جميع مركبات حقل الموجة الكهروطيسية في مستوى عرضاني معامد لمنحى الانتشار z ، وتُعتبر الأنماط عن المعاني الفيزيائية لحلول معادلات ماكسويل للحزم الغاوصية (Saleh & Teich, 1999). وتشير الحروف الكبيرة إلى الأنماط الكهروطيسية العرضانية لليزر والدليلين n و m يعبران عن مراتب الأنماط العرضانية وعندما $m = n = 0$ يدعى بالنمط الأساسي TEM₀₀ ويمثل توزيع الحقل العرضاني الأكثر شيوعاً بين الليزر. وفي أغلب الحالات، يمكن تقريب انتشار الحزم الغاوصية بشكل توزيع الشدة الغاوصية المطابق للنمط الأساسي TEM₀₀، ويظهر مقطع العرضاني على شكل بقعة دائرية وحيدة. وهو النمط الذي نهتم به في بحثنا، كذلك يُعتبر النمط الأهم في مختلف تطبيقات الليزر وخاصة في المجاويزات البصرية المستقرة (Hodgson & Weber, 2005).

في الحقيقة يمكننا تعريف مجموعة التوابع التي تمثل حلولاً للمعادلة الموجية المحورية في تقريب القطع المكافئ وتُعتبر عن بعض الخصائص الأساسية للحزم الغاوصية، بينما تساهم أجزاء هذه المجموعة بوصف بعض البنى الأساسية مما يزيد الاهتمام بالحزم الغاوصية نظراً لأهميتها. فالمنظومات الليزرية المستقرة تولد حزمًا ليزرية قريبة جداً من الغاوصية، ويمكن دراستها تحليلياً (Siegman, 1986)، لذا فهي تقدم طريقة هامة لمعالجة الظواهر الانعراجية بطريقة تقنية طيف الانتشار تحويولات فورييه (Goodman, 2004). وتمتلك الحزم الغاوصية خصائص هامة متعددة نذكر منها:

- قابلية تمثيلها تحليلياً. - استخدامها لتحويلات فورييه. - دقة مثالية.
- الموضع الأكثر تحرقاً حيث لا يمكن أن تتحرق الحزم الغاوصية في نقطة كما هو الحال في علم الضوء الهندسي (Hecht, 2002).

الخصائص الفيزيائية لبصريات الحزم الغاوصية من النمط الأساسي TEM₀₀

إن المعادلة العامة التي تصف تغيرات الحقل الكهربائي لموجة ضوئية وحيدة اللون ومستقطبة خطياً، وتنتشر بالقرب من المحور البصري بزوايا صغيرة وفق منحى الانتشار الموجب لمحور z يمكن وصفها رياضياً في جملة الإحداثيات الديكارتيّة بالعلاقة الآتية:

$$E(x, y, z) = E_0 \psi(x, y, z) \exp(-ikz) \quad (1)$$

حيث E_0 تمثل السعة العظمى للحقل الكهربائي والعامل $\exp(-ikz)$ يدل على أن الموجة الكهربائية للحزمة الليزرية تنتشر على شكل موجة مستوية ذات توزيع منقظم، أما العامل $\psi(x, y, z)$ فيعبر عن انحراف الحزمة الليزرية عن الموجة المستوية وفق منحى الانتشار z . إن معدل السعة العقدية للحقل الموجي $\psi(x, y, z)$ الذي يخضع بدوره لمعادلة الموجة السلمية المحورية التي تعطى في الفراغ الحر بالشكل العام بالعلاقة التالية (Lax, 1975):

$$\frac{\partial^2 \psi}{\partial x^2} + \frac{\partial^2 \psi}{\partial y^2} + \frac{\partial^2 \psi}{\partial z^2} - 2ik \frac{\partial \psi}{\partial z} = 0 \quad (2)$$

بينما في حالة استخدام شرط التقريب المحوري $\left| \frac{\partial^2 \psi}{\partial z^2} \right| \ll k \left| \frac{\partial \psi}{\partial z} \right|$ فإن

معادلة الموجة السلمية المحورية تعطى بالعلاقة التالية:

$$\frac{\partial^2 \psi}{\partial x^2} + \frac{\partial^2 \psi}{\partial y^2} - 2ik \frac{\partial \psi}{\partial z} = 0 \Rightarrow \nabla_T^2 \psi - 2ik \frac{\partial \psi}{\partial z} = 0 \quad (3)$$

تمثل المعادلة (3) معادلة مركزية أساسية لانتشار الحزم الغاوصية.

حيث: $\nabla_T^2 = \frac{\partial^2}{\partial x^2} + \frac{\partial^2}{\partial y^2}$ يمثل مؤثر لابلاس ذات التوزيع العرضي، بينما يُعبر ∇^2

عن مؤثر لابلاس الذي يُعرف بالشكل العام في الإحداثيات الديكارتية بالعلاقة التالية:

$$\nabla^2 = \frac{\partial^2}{\partial x^2} + \frac{\partial^2}{\partial y^2} + \frac{\partial^2}{\partial z^2} \quad (4)$$

وفقاً لافتراضنا لشرط التقريب المحوري فإن السعة العقدية $\psi(x, y, z)$ التي

تُعبّر عن انحراف الحزمة الليزرية عن الموجة المستوية التي تتغير ببطء وفق محور الانتشار z بالمقارنة مع الطول الموجي المرتبط به أي $2\pi/k$ ، ضمن هذه

الافتراضات فإن المشتق الثاني $\frac{\partial^2 \psi}{\partial z^2}$ صغير جداً ولذلك تم إهماله من العلاقة (2).

الشعاع k^2 الذي طويلته تساوي $\left| \vec{k} \right| = \frac{2\pi}{\lambda} = \sqrt{k_x^2 + k_y^2 + k_z^2}$ يدعى بثابت الانتشار

أو بعدد الانتشار والذي يحدد جهة انتشار الموجة، و λ طول موجة الضوء في وسط

الانتشار. بينما تُمثل كل من k_x و k_y و k_z التواترات الزاوية المكانية على طول

المحاور x و y و z على الترتيب كما سنرى لاحقاً.

تسمى العلاقة (3) أيضاً بمعادلة هلمهولتز المحورية التي تتطابق تماماً مع

نموذج انعراج فرينيل (Bachor, 1998)، كما تشبه معادلة شرودينغر المستقلة عن

الزمن. ولحلها نستخدم أولاً تابعاً مبسطاً تماماً لـ $\psi(x, y, z)$ ، والذي يلائم النمط

الأساسي TEM_{00} للحزمة الغاوصية ذات التوزيع العرضي:

$$\psi(x, y, z) = \psi_0 \exp \left\{ -i \left[p(z) + \frac{k}{2q(z)} (x^2 + y^2) \right] \right\} \quad (5)$$

إن هذه العلاقة (5) التي لها شكل معادلة موجية في تقريب القطع المكافئ، حيث ψ_0 ثابت يعتمد على سعة الحزمة ويتعين من شروط الحدية و يدعى $p(z)$ و $q(z)$ بالمعاملات العقدية للحزمة الغاوسية، وتمثلان تابعان عقديان، حيث إن الحد الأسّي الأول من العلاقة (5) يمثل انزياح الطور العقدي للحزمة الغاوسية، وتعطى قيمة هذا الحد بتعويض المعادلة (5) في معادلة الموجة المحورية المنتملة بالعلاقة (3) نحصل على (Verdeyen, 1996):

$$p(z) = -i \ln |z + iz_R| \quad (6)$$

بينما يدعى $q(z)$ بمعامل الحزمة الغاوسية الذي يُعبر عن تغير السعة العقدية للحزمة الغاوسية أثناء انتشارها في الفراغ الحر. إن المعامل $q(z)$ يتغير أثناء الانتشار بين المستويين $z = 0$ و $z = \infty$ في الفراغ الحر وفقاً للعلاقة:

$$q(z) = z + iz_R \quad (7)$$

حيث $i = \sqrt{-1}$ يمثل عدد عقدي، بينما يُعرف z_R بمجال رايلي (Rayleigh range) بأنه المسافة التي تتزايد عندها الحزمة الغاوسية بمقدار $\sqrt{2}$ مرة والتي يمكن اعتبارها حزمة ليزيرية ممددة، والذي يحدد البعد الذي يمكن أن تنتشر فيه الحزمة بدون أن تتفرج بشكل كبير وتعطى بالعلاقة التالية:

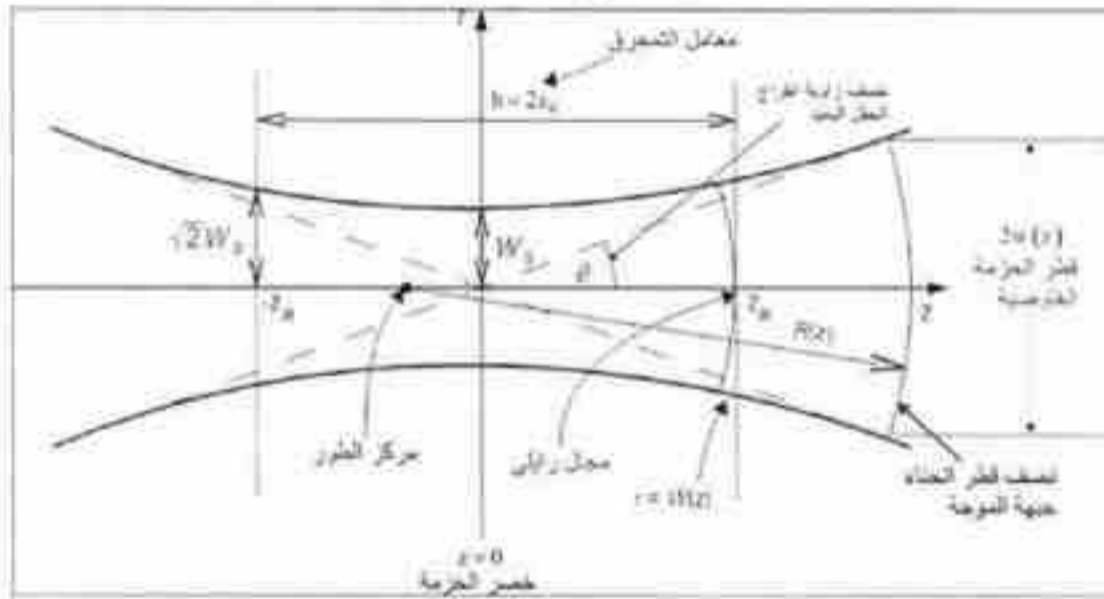
$$z_R = \frac{kW_0^2}{2} = \frac{\pi W_0^2}{\lambda} = \frac{W_0}{\theta} = \frac{\lambda}{\pi\theta^2} \quad (8)$$

حيث يمثل θ نصف انفتاح الحزمة الغاوسية للنمط الأساسي TEM_{00} ضمن التقريب المحوري، ويصف توسع الحزمة الغاوسية عند انتشارها باتجاه اللانهاية بالعلاقة التالية:

$$\theta = \frac{W_0}{z_R} = \frac{\lambda}{\pi W_0} \quad (9)$$

يُعرف ضعف مجال رايلي $2z_R$ رياضياً بأنه الخط الفاصل بين الانفراج في كل من المجالين القريب والمتوسط، وهو المسافة الفاصلة بين نقاط من كل طرفي خصر الحزمة والنقطة التي يكون فيها انحناء نصف قطر جبهة الموجة أعظمياً. وبالتالي يمكن اعتبار الحزمة الغاوصية ضمن هذا المجال $-z_R \leq z \leq z_R$ متوازية تقريباً وجبهة الموجة شبه مستوية كما موضح في الشكل (1). وبالتالي سوف تكون للحزمة الغاوصية لجبهة الموجة الطور ذاته من خلال سطحه الكلي، لذلك يُعبر عن خواص نمط الحزمة TEM_{00} بالعامل المحرقى:

$$b = 2z_R = \frac{2\pi W_0^2}{\lambda} \quad (10)$$



الشكل (1) انتشار الحزمة الغاوصية في الفراغ الحر.

بالاستفادة من العلاقة (8) يمكننا إيجاد نصف قطر خصر الحزمة الغاوصية الذي يُعرف بأنه العرض الذي يتناقص عنده سعة الحزمة الغاوصية إلى e^{-1} مرة من قيمته العظمى، والتي تعطى بالعلاقة الآتية:

$$W_0 = \left(\frac{\lambda}{\pi} z_R \right)^{\frac{1}{2}} \quad (11)$$

يمكن معالجة انتشار الحزم الغاوصية في الفراغ الحر من خلال المنظومات البصرية التي تكون غالباً لها شكل مبسط باستخدام علم الضوء الهندسي، وبالاعتماد

على تحويلات سيلف- فورييه (Self, 1983) لميزات الحزم الغاوصية فإننا لاحتجاج لإجراء التكامل لوصف شكل توزيع السعة العقدية $\psi(x, y, z)$ للموجة المستوية التي تنتشر وفق منحى الانتشار z في الفراغ الحر أو ضمن المجاويزات البصرية بدلالة أبعاد مختلفة من z ، لأن توزيع السعة العقدية للحزمة الغاوصية في كل نقطة من مسار انتشارها في الفراغ الحر أو في كل نقطة من المنظومة المحافظة على توزيعه بشكل غاوصي وباستخدام تحويل فورييه سيمك شكلاً غاوصياً أيضاً مما يجعل الحزمة الليزرية أكثر فعالية، وسيتغير فقط كلاً من نصف قطر الحزمة الغاوصية $W(z)$ ونصف قطر انحناء جبهة الموجة $R(z)$.

يتعين كلا المتغيرين $W(z)$ و $R(z)$ بدلالة خصر الحزمة الغاوصية W_0 والبعد عن موضع خصر الحزمة $z=0$ أثناء انتشارها بين المستويين في الفراغ الحر. ونكتب المقدار العقدي $q(z)$ الموجود بين القوسين المتوسطين في العلاقة (5) بوصفه تابع يرتبط مع كل من نصف قطر الحزمة الغاوصية $W(z)$ ونصف قطر انحناء جبهة الموجة $R(z)$ كما يلي:

$$\frac{1}{q(z)} = \frac{1}{z + iz_R} = \frac{z}{z^2 + z_R^2} - i \frac{z_R}{z^2 + z_R^2} = \frac{1}{R(z)} - i \frac{\lambda}{\pi W^2(z)} \quad (12)$$

نلاحظ من هذه العلاقة أن معامل $q(z)$ يمثل عدد عقدي يتألف من جزأين حقيقي Re وتخيلي Im . حيث يمثل الجزء الحقيقي نصف قطر انحناء جبهة الموجة $R(z)$ ويعطى بالعلاقة الآتية:

$$Re \left\{ \frac{1}{q(z)} \right\} = \frac{z}{z^2 + z_R^2} = \frac{1}{R(z)} \quad (13)$$

ومنه نجد أن نصف قطر انحناء جبهة الموجة $R(z)$ تعطى بالعلاقة

التالية:

$$R(z) = z + \frac{z_R^2}{z} = z \left[1 + \frac{z_R^2}{z^2} \right] = z + \frac{\pi^2 W_0^4}{\lambda^2 z} = z \left[1 + \left(\frac{\pi W_0^2}{\lambda z} \right)^2 \right] \quad (14)$$

بينما يمثل الجزء التخيلي نصف قطر الحزمة الغاوصية $W(z)$ وتعطى بالعلاقة الآتية:

$$\text{Im} \left\{ \frac{1}{q(z)} \right\} = \frac{-z_R}{z^2 + z_R^2} = \frac{-\lambda}{\pi W^2(z)} \quad (15)$$

ونستنتج أن نصف قطر الحزمة الغاوصية $W(z)$ يعطى بالعلاقة التالية:

$$W^2(z) = W_0^2 \left[1 + \frac{z^2}{z_R^2} \right] = W_0^2 + \frac{\lambda^2 z^2}{\pi^2 W_0^2} = W_0^2 \left[1 + \left(\frac{\lambda z}{\pi W_0^2} \right)^2 \right] \quad (16)$$

وتقترب العلاقتان (14) و (16) بشكل طبيعي مع حقيقة كون W_0 عنداً حقيقياً وليس تخيلياً، إذ إن كلا المتغيرين $W^2(z)$ و $R(z)$ يغيران معانها الفيزيائي عندما تكون W_0^2 مقداراً تخيلياً بحتاً وبالتالي سيكون كلاً من $W^2(z)$ و $R(z)$ تخيلياً بحتاً أيضاً، وفي هذه الحالة فإن $R(z)$ لا تمثل نصف قطر انحناء جبهة الموجة بتابعة أبعاد z .

إن نصف قطر انحناء جبهة الموجة $R(z)$ بتابعة أبعاد z حصلنا عليه بسهولة من $q(z)$ والذي يكون موجباً (حزمة منفرجة) على يمين $z = z_R$ أي $z > z_R$ وسالباً (حزمة متقاربة) على يسار $z = z_R$ أي $z < z_R$. وباستخدام $q(z) = q_0 + (z - z_R)$ بحيث نحصل على قيمة q_0 عندما $z = 0$ بسهولة بوضع $R(0) = \infty$ و $W(0) = W_0$ في المعادلة (12) لتأخذ الشكل التالي:

$$\frac{1}{q(0)} = \frac{1}{R(0)} - i \frac{\lambda}{\pi W^2(0)} = i \frac{\lambda}{\pi W^2(0)} \Rightarrow q(0) = q_0 = i \frac{\pi W_0^2}{\lambda} = i z_R \quad (17)$$

نلاحظ أن ثابت الانتشار W_0 وهو يوافق انحناء $1/R_0$ يدعى بخصر الحزمة (Beam waist). كما نلاحظ أيضاً أنه عندما $R \rightarrow \infty$ ، تكون قيمة q تخيلية بحتة. ضمن هذه الاصطارات يمكننا كتابة العلاقة (7) بالشكل التالي:

$$q(z) = q_0 + z = i z_R + z \quad (18)$$

يمكن التعبير عن السعة العقدية $\psi(x, y, z)$ للحزمة الغاوصية باستخدام

المعادلات (3) و (5) و (6) و (12) وبعد إجراء معالجة رياضية نجد:

$$\psi(x, y, z) = \frac{W_0}{W(z)} \exp\left[-\frac{(x^2 + y^2)}{W^2(z)}\right] \exp\left[-ik \frac{(x^2 + y^2)}{2R(z)}\right] \exp[i\phi(z)] \quad (19)$$

وهذا يعني أن الحزمة الغاوصية لها الشكل الغاوصي مهما تكن قيمة البعد z . وتعويض العلاقة (19) في المعادلة (1) نحصل على المعادلة الأساسية للحزمة الغاوصية من أجل النمط الأساسي TEM₀₀ للموجة العرضائية المعامدة لمنحى الانتشار z في الفراغ الحر. والتي تصف في الوقت ذاته تغيرات الحقل الكهربائي المتولد في المجاوبات البصرية المستقرة.

$$E(x, y, z) = E_0 \frac{W_0}{W(z)} \exp\left[-\frac{(x^2 + y^2)}{W^2(z)}\right] \exp\left[-ik \frac{(x^2 + y^2)}{2R(z)}\right] \exp\{-i[kz - \phi(z)]\} \quad (20)$$

تشير الرموز $W(z)$ و $R(z)$ و $\phi(z)$ إلى كل من نصف قطر الحزمة الغاوصية ونصف قطر انحناء جبهة الموجة والزيح طور عموي للحزمة الغاوصية على الترتيب والتي تعطى بالعلاقات الآتية:

$$W(z) = W_0 \sqrt{1 + \left(\frac{z}{z_R}\right)^2} = W_0 \sqrt{1 + \left(\frac{\lambda z}{\pi W_0^2}\right)^2} \quad (21)$$

$$R(z) = z \left[1 + \left(\frac{z_R}{z}\right)^2\right] = z \left[1 + \left(\frac{\pi W_0^2}{\lambda z}\right)^2\right] \quad (22)$$

$$\phi(z) = \arctan\left(\frac{z}{z_R}\right) = \arctan\left(\frac{\lambda z}{\pi W_0^2}\right) \quad (23)$$

إن التفسير الفيزيائي لتوزيع السعة العقدية للحقل الكهربائي $E(x, y, z)$ المحدد عند كل نقاط الفراغ الحر يمثل بجداء ثلاثة حدود أسية كما هو موضح في المعادلة (20) بالشكل الآتي:

إن العامل الأسّي الأول يُسمى بعامل السعة العقدية للحقل الكهريائي ذات التوزيع العرضي الغاوصي $E_0 \frac{W_0}{W(z)} \exp\left[-\frac{r^2}{W^2(z)}\right]$ ويوضح هذا العامل بأن معدل السعة يتغير عندما تنتشر الحزمة الغاوصية بأبعاد مختلفة وفقاً للقيم z المتصاعدة. وهذا العامل ذو أهمية كبيرة في وصف الأنماط الليزرية TEM_{00} المتولدة ضمن المجاويزات البصرية (Abramochkin & Volostnikov 2004). حيث تعتمد معظم المجاويزات البصرية في الليزر على توزيع الحقل الكهريائي العرضي والذي يقاس بوحدة Volts.m^{-1} . بما أن الحزمة الغاوصية تملك توزيعاً متناظراً للحقل الكهريائي لذلك تعطى تغيراتها بالعلاقة التالية:

$$E(x, y, z) = E_0 \frac{W_0}{W(z)} \exp\left[-\frac{(x^2 + y^2)}{W^2(z)}\right] = E_0 \frac{W_0}{W(z)} \exp\left[-\frac{r^2}{W^2(z)}\right] \quad (24)$$

حيث E_0 تمثل السعة العظمى للحقل الكهريائي عند مركز الحزمة الغاوصية وفق منحنى الانتشار z و $r^2 = x^2 + y^2$ الذي يُعبر عن نصف القطر اعتباراً من مركز الحزمة x و y وهي الإحداثيات العرضانية لأية نقطة بالمقارنة مع الإحداثيات المتوسطة عند مركز الحزمة. بينما يُعبر العامل $W_0/W(z)$ عن الاستطاعة الكلية للحزمة الغاوصية والتي تكون محفوظة وفق منحنى الانتشار z في الفراغ الحر. تمتاز الحزمة الغاوصية بمنطقة أصغر تدعى بخصر الحزمة، علماً يمكن التعبير عن التغيرات العرضانية لسعة الحقل الكهريائي بالعلاقة التالية:

$$E(x, y, z = 0) = E_0 \exp\left[-\frac{r^2}{W_0^2}\right] = E_0 \exp\left[-\frac{x^2 + y^2}{W_0^2}\right] \quad (25)$$

من جهة أخرى إن عين الإنسان غير حساسة لسعة الحقل الكهريائي $E(x, y, z)$ وإنما حساسة لتوزيع شدة الإضاءة الليزرية التي تتناسب طردياً مع مربع سعة الحقل الكهريائي $|E|^2 = E \cdot E^*$ وعامل التناسب في هذه الحالة يأخذ أبعاد مقاومة ويدعى بالمقاومة الموجبة في الفراغ الحر ويرمز له بالرمز η وتبلغ قيمة هذه المقاومة في الخلاء $\eta = \eta_0 = \sqrt{\mu_0/\epsilon_0} \approx 377\Omega$ حيث μ_0 و ϵ_0 ثابتا النفاذية

المغناطيسية والعازلية الكهربائية للخلاء على الترتيب، وتكون واحدة توزع شدة الإضاءة Watt/m^2 وهي تمثل استطاعة الأشعة المسافطة على واحدة المساحة. انطلاقاً من ذلك فإن المعدل الزمني لتوزيع شدة إضاءة الحزمة الغاوسية وفق النمط TEM_{00} يعطى بالعلاقة التالية:

$$I(x, y, z) = I_0 \left(\frac{W_0}{W(z)} \right)^2 \exp \left[-2 \frac{r^2}{W^2(z)} \right] = I_0 \frac{z_0^2}{z^2 + z_0^2} \exp \left[-2 \frac{r^2}{W^2(z)} \right] \quad (26)$$

$$I_0 = |E_0|^2 / 2\eta_0 \quad \text{حيث:}$$

يوصف توزيع شدة الإضاءة للحزمة الغاوسية في مستوى حصر الحزمة عند

$z = 0$ بأنه يملك توزيعاً غاوسياً متمثلاً بالعلاقة التالية:

$$I(x, y, z = 0) = I_0 \exp \left[-2 \frac{r^2}{W_0^2} \right] = I_0 \exp \left[-2 \frac{(x^2 + y^2)}{W_0^2} \right] \quad (27)$$

يمكن الحصول على الاستطاعة الكلية المحتواة ضمن نصف القطر

$r = \sqrt{x^2 + y^2}$ بسهولة عند إجراء تكامل توزيع شدة الإضاءة في المستوى العرضي من الصفر إلى اللانهاية.

$$p = \int_0^\infty I(r) 2\pi r dr = \frac{I_0}{2} \pi W_0^2 = \text{const} \quad (28)$$

كما نلاحظ من العلاقة (28) أن الاستطاعة الكلية p المحمولة بوساطة

الحزمة الثابتة هي ذاتها عند كل مقطع عرضي للحزمة الغاوسية ومستقلة عن قيم z ، كما هو متوقع. وبالتالي فإن الاستطاعة الكلية للحزمة تساوي نصف الشدة العظمى مضروبة بمساحة الحزمة الغاوسية.

ترتبط الاستطاعة الكلية p مع توزيع الشدة I_0 في مركز الحزمة بالعلاقة:

$$I_0 = P_0 \left(\frac{2}{\pi W_0^2} \right) \quad (29)$$

ويكون توزيع الشدة أعظماً وتساوي $I_0 = I_{\text{max}}$ ، عندما $z = 0$ ، $r = 0$ في

مركز الحزمة نظراً لصغر مساحة الحزمة الغاوسية. وبما أن الحزم الليزرية غالباً

توصف حسب استطاعتها p ، فمن المفيد التعبير عن الشدة I_0 بتابعية p باستخدام العلاقة (28) وإعادة كتابة العلاقة (26) بالشكل:

$$I(x, y, z) = \frac{2p}{\pi W^2(z)} \exp\left[-2\frac{r^2}{W^2(z)}\right] = \frac{2p}{\pi W^2(z)} \exp\left[-2\frac{x^2 + y^2}{W^2(z)}\right] \quad (30)$$

يمثل العامل الأسّي الثاني $\exp\left[-\frac{(x^2 + y^2)}{2R(z)}\right]$ في العلاقة (20) عامل

الطور العرضي وهو يُعبر عن تغير قيمة الطور وفق المنحى القطري $r = \sqrt{x^2 + y^2}$ المعامد لمنحى الانتشار z . ويشير هذا العامل إلى أن المستوي $z = \text{const}$ ليست سطوح تماوي الطور كلما ابتعدنا عن منحى الانتشار z ، وإنما هي عبارة عن سطوح منحنية ونصف قطر انحناءها هو $R(z)$. في هذه الحالة يمكن أن نقول إن الحزمة الغاوسية لها تقريب جبهة الموجة الكروية لنصف قطر انحناء يتغير وفق منحى الانتشار z وفقاً للعلاقة (22).

يمثل العامل الأسّي الثالث $\exp[-i(kz - \phi(z))]$ في العلاقة (20) عامل

الطور الطولاني الذي يُعبر عن تغير طور الحزمة الغاوسية وفق منحى الانتشار z ويعطى بالعلاقة:

$$\Phi(z) = kz - \phi(z) \quad (31)$$

إن الحد الأول من العلاقة (31) يمثل طور الموجة المستوية بينما الحد

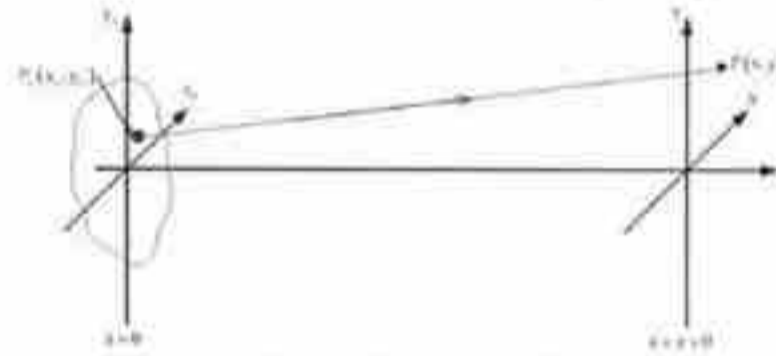
الثاني $\phi(z)$ المعطى بالعلاقة (23) يمثل انزياح الطور الطولاني الذي يغير طور الموجة المستوية ويسمى هذا الحد $\phi(z)$ بانزياح طور غوي والذي يتغير ببطء مع انتشار الحزمة الغاوسية وفق منحى الانتشار z من $-\frac{\pi}{2}$ إلى $+\frac{\pi}{2}$ التي لأجلها

تتغير قيم z من $z_R \ll z$ إلى $z \gg z_R$ ماراً بالقيمة $-\frac{\pi}{4}$ عندما $z = z_R$ وإن هذا

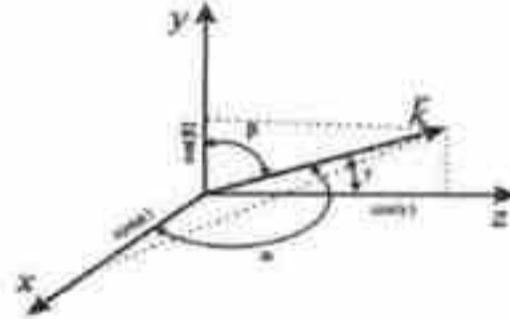
الحد يلعب دوراً أساسياً لتحديد التواترات التجاوبية للأكمات الطولانية المتولدة في المجاوبات البصرية المستقرة.

النتائج والمناقشة:

بمستند مخطط خوارزمية البرنامج الحاسوبي المكتوب بلغة Borland C++ builder 6 الذي تم تصميمه خصيصاً لأجل هذا الهدف إلى طريقة انتشار الطيف الزاوي للأمواج المستوية باستخدام زوج من تحويلات فورييه لوصف انتشار الحزم الغاوصية بين المستويين المحددين كما في الشكل (2) وذلك ابتداءً من المستوى الأول الممثل بموضع خصر الحزمة الغاوصية W_0 عند $z = 0$ إلى المستوى الثاني الموازي له والمنتشر بأبعاد مختلفة وفق المحور z التي توافقت التواترات الزاوية المكانية التي يمكن حسابها اعتماداً على الشكل الهندسي (3) (Dominguez et al., 2010).



الشكل (2) يمثل انتشار الحزمة الغاوصية بين المستويين

الشكل (3) المستوى الذي يمثل جيوب تمام توجيه الزوايا α, β, γ المعرفة في جملة الإحداثيات الديكارتية

$$\left. \begin{aligned} k_x &= k \cos \alpha = \frac{2\pi \cos \alpha}{\lambda} = 2\pi v_x \Rightarrow v_x = \frac{\cos \alpha}{\lambda} \\ k_y &= k \cos \beta = \frac{2\pi \cos \beta}{\lambda} = 2\pi v_y \Rightarrow v_y = \frac{\cos \beta}{\lambda} \\ k_z &= k \cos \gamma = \frac{2\pi \cos \gamma}{\lambda} = 2\pi v_z \Rightarrow v_z = \frac{\cos \gamma}{\lambda} \end{aligned} \right\} \quad (32)$$

حيث v_x و v_y و v_z تمثل النواتجات الزاوية المكابية للموجة المستوية في اتجاه المحاور x و y و z على الترتيب، بينما تمثل كل من α و β و γ جيبوب تمام توجيهه أي: $\alpha^2 + \beta^2 + \gamma^2 = 1$ و $k^2 = k_x^2 + k_y^2 + k_z^2$ ، بالتالي تحقق مركبات مجموع المتجهات العلاقة التالية:

$$k_z = (k^2 - k_x^2 - k_y^2)^{\frac{1}{2}} \Rightarrow v_z = \left[\left(\frac{1}{\lambda} \right)^2 - v_x^2 - v_y^2 \right]^{\frac{1}{2}} \quad (33)$$

تعتبر هذه الطريقة إحدى الطرائق الفعالة لمعالجة الظواهر الانعراجية لمتغيرات الحزم الغاوصية في الفراغ الحر عند حساب الانتشار الانعراجي ومحاكاتها عددياً لتوزيع السعة العقدية للحزمة الغاوصية، ومن ثم تعثيله بقسميه الحقيقي والتخيلي، وكذلك حساب توزيع الشدة وانزياح الطور للحزمة الغاوصية للنمط الأساسي TEM_{00} عن طريق تجزئته إلى مجموعة من الموجات المستوية، وتحليل جميع مركبات هذه الموجات المستوية كل على حدى، باستخدام القيم الذاتية وذلك بالاستفادة من طبيعة الأمواج المستوية عند انتشارها في الفراغ الحر التي تتميز بأنها توابع خاصة للانتشار الانعراجي، وتدعى هذه الخطوات بطريقة تحليل الطيف الزاوي (Hild,2004). والمخطط الصندوقي لخوارزمية البرنامج موضح في الشكل (4).

بأخذ الثوابت الفيزيائية لمتغيرات الحزمة الغاوصية والمستخدم في المحاكاة العددية، وباعتبار حصر الحزمة الغاوصية $W_0 = 200\mu m$ لكل من ليزر $He - Ne$ ذي طول موجة $\lambda = 632.8nm$ والليزر الأرجوني ذي طول موجة $\lambda = 514.4nm$. لإجراء محاكاة عددية نعوض الثوابت المذكورة أعلاه في المعادلات (8,9,20,21,22,23,24,25,26,27,28,31) المعثلة للمتغيرات الأساسية للحزمة الغاوصية من النمط الأساسي TEM_{00} في الفراغ الحر الذي ينتشر وفق منحى الانتشار z ابتداءً من المستوى الأول $z = 0$ الممثل للبعد عن موضع حصر الحزمة الغاوصية $W_0 = 200\mu m$ إلى المستويات الأخرى ذات الأبعاد: $z = z_0$ و $z = 2z_0$ كما هو في الشكل (5).

التوزيع الأولي لتحويل فورييه ثنائي البعد عند المستوى الأول $z=0$

$$\Psi_0(v_x, v_y) = \mathcal{F}_{2D} \{ \Psi_0(x, y) \}$$

$$= \iint_{-\infty}^{\infty} \Psi_0(x, y) \exp[-2\pi i (xv_x + yv_y)] dx dy$$

التوزيع الأولي لتحويل فورييه العكسي ثنائي البعد عند المستوى الأول $z=0$

$$\Psi_0(v_x, v_y) = \mathcal{F}_{2D}^{-1} \{ \Psi_0(x, y) \}$$

$$= \iint_{-\infty}^{\infty} \Psi_0(x, y) \exp[2\pi i (xv_x + yv_y)] dx dy$$

تقنية لطيف فورييه للتردد العكسي
توزيع الضوئيات على التردد

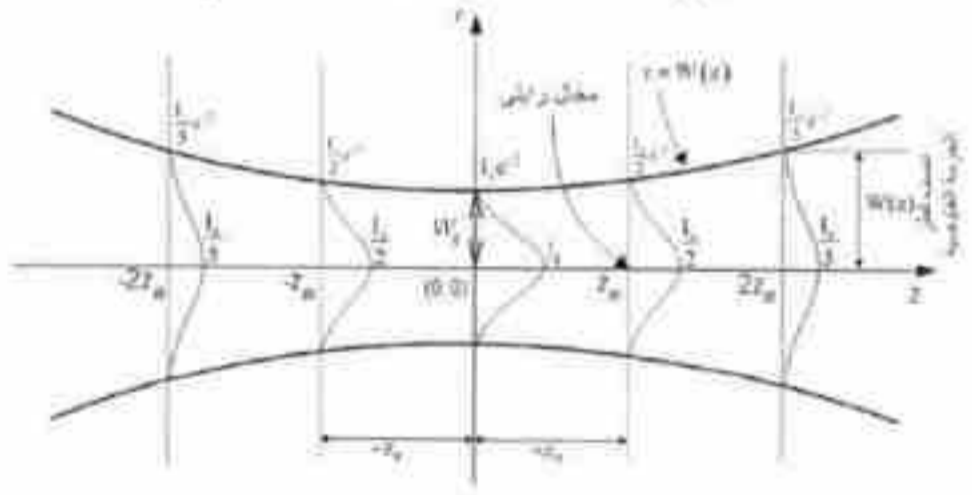
نوع تحويل فورييه من أجل مواضع مختلفة لـ $z > 0$ للخط الموجي

$$\Psi(v_x, v_y, z) = \Psi_0(v_x, v_y) \exp\left[i 2\pi z \sqrt{\frac{1}{\lambda^2} - v_x^2 - v_y^2} \right]$$

تحويل فورييه العكسي للخط المنحرج وفق مواضع مختلفة لـ $z > 0$

$$\Psi(x, y, z) = \iint_{-\infty}^{\infty} \left[\Psi_0(v_x, v_y) \exp\left[i 2\pi z \sqrt{\frac{1}{\lambda^2} - v_x^2 - v_y^2} \right] \exp[2\pi i (xv_x + yv_y)] \right] dv_x dv_y$$

الشكل (4) المخطط الصندوقي لخوارزمية الطيف الزاوي



الشكل (5) يمثل مخطط توزيع شدة الاضاءة التوربية للحزمة الغاوسية من النمط الاساسي TEM_{00} أثناء انتشارها في الفراغ الحر

يوضح الشكل (6) التغيرات التي تحصل على توزع شدة الإضاءة للحزمة الغاوسية من النقط الأمامي TEM_{00} المعطاة بالعلاقة (26) والذي مقطعه العرضي في هذه الحالة يكون على شكل تابع غاوسي (تمثل على هذا الشكل بطريقتين: ثنائية البعد وعرض الحزمة التي تمثلها الصور في الطرف الأيمن العلوية) وتوزع انزياح طور غوي $\phi(z)$ وتمثلها الصور في الطرف الأيسر العلوية المعطى بالعلاقة (23) المستخدمة في المحاكاة العددية لليزر الأرجوني بطول الموجي $\lambda = 514.4nm$.

نلاحظ من الشكل (6-a) أن توزع شدة الإضاءة في المركز يكون أعظفياً

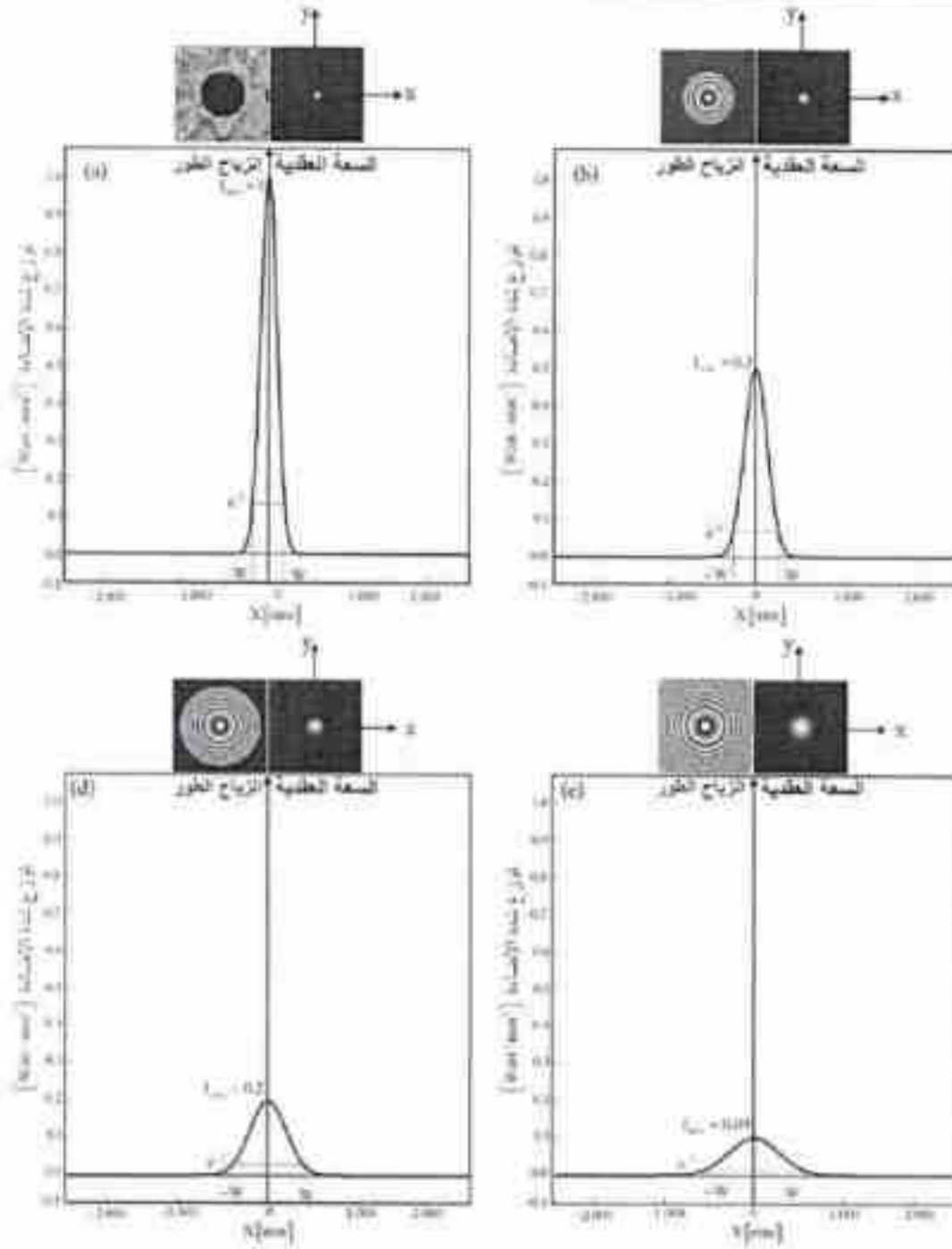
عندما $r=0$ و $z=0$ فإن: $I_{max} = I_0 = 1$

$$I(0,z) = I_0 \frac{W_0^2}{W^2(z)} = \frac{I_0}{1 + \frac{z^2}{z_R^2}}$$

وانزياح طور غوي $\phi(z) = 0$ عندما $z \rightarrow 0$ كما في الشكل (6-a) الممثل بالبقعة السوداء التي تشير إلى قيمة معدومة للطور، ومن ثم تتناقص هذه الشدة تدريجياً كلما ابتعدنا عن مركز خصر الحزمة وتبلغ نصف قيمتها العظمى $I_{max} = 0.5$ عندما $z = \pm z_R$ أي $W(z = \pm z_R) = W_0 \sqrt{2}$ بينما الطور المعطى بالعلاقة (31) وعند محور الحزمة يتغير بمقدار $\pi/4$ مقارنة مع طور الموجة المستوية kz كما في الشكل (6-b)، ومن أجل مسافات أكبر بعد مجال رايلي $z \gg z_R$ فإن $I(0,z) \approx I_0 \frac{z_R^2}{z^2}$ عندها سيتناقص توزع شدة الإضاءة كلما ابتعدنا عن خصر الحزمة الغاوسية كما في الشكل (6-d,e) وفقاً لقانون معامل الطور التربيعي، حيث لا يمكننا تحديد حدود لهذه الحزمة التي تمتد إلى ما لا نهاية نظرياً، ولا يمكن عندها تعيين أبعاد الحزمة بوصفه جسم فيزيائي ملموس. لهذا السبب ولكي نعين أنصاف أقطار الحزمة الغاوسية $W(z)$ بشكل دقيق وصحيح، نستخدم التعريف الأكثر شيوعاً لعرض الحزمة $2W(z)$ ويدعى بمعيار الأيزو (ISO11146,1999) والذي يستخدم في جميع منجزات معايير غريغوت

(CVI Mells Griot) الذي يُعرف بأنه العرض الذي يتناقص عنده شدة الحزمة إلى e^{-2} مرة من قيمته العظمى وذلك عند قياس هذا العرض في ممتر معامد لمنحى الانتشار z ، وهذا التعريف ملائم من أجل الليزر التي تعمل وفق النمط الأساسي TEM_{00} ، ومنه نجد $I[W(z)] = \frac{I_0}{e^2} = 0.135I_0$ بالتالي فإن قيمة الحزمة الغاوصية عند هذه النقطة تكون أقل بكثير من شدة الحزمة الصادرة عند المحور الأساسي حيث $\frac{I[W(z)]}{I_0} = 0.135 = 13.5\%$ يوضح الشكل (6) أيضاً التغيرات الحاصلة في توزيع شدة الإضاءة بوصفه تابع للمسافة x بالنسبة لمركز الحزمة الغاوصية، التي مسقطها في هذه الحالة تكون على شكل تابع غاوصي. ويانتشار الحزمة الغاوصية عند أبعاد مختلفة لـ z فإن نصف قطر الحزمة الغاوصية $W(z)$ مسترداد والتي عندها عرض الحزمة $2W(z)$ الليزرية ذات التوزيع العرضي مستمع كما هو موضح في الصور في الطرف الأيمن العلوية من الشكل (6) وبالتالي فإن النقاط التي تمثل e^{-2} مرة من قيمة الشدة تصبح أبعد عن المحور، كما في الشكل (6-b,d,e). كما نلاحظ من الشكل (6) إن البقعة البيضاء في الصور العلوية في الطرف الأيسر الممثلة لانزياح الطور تشير إلى قيمة للطور مساوية 2π بينما تشير البقعة السوداء إلى قيمة معدومة للطور، بينما اللون الأبيض والأسود الحاد يشير إلى فقرة طورية بين الصفر و 2π .

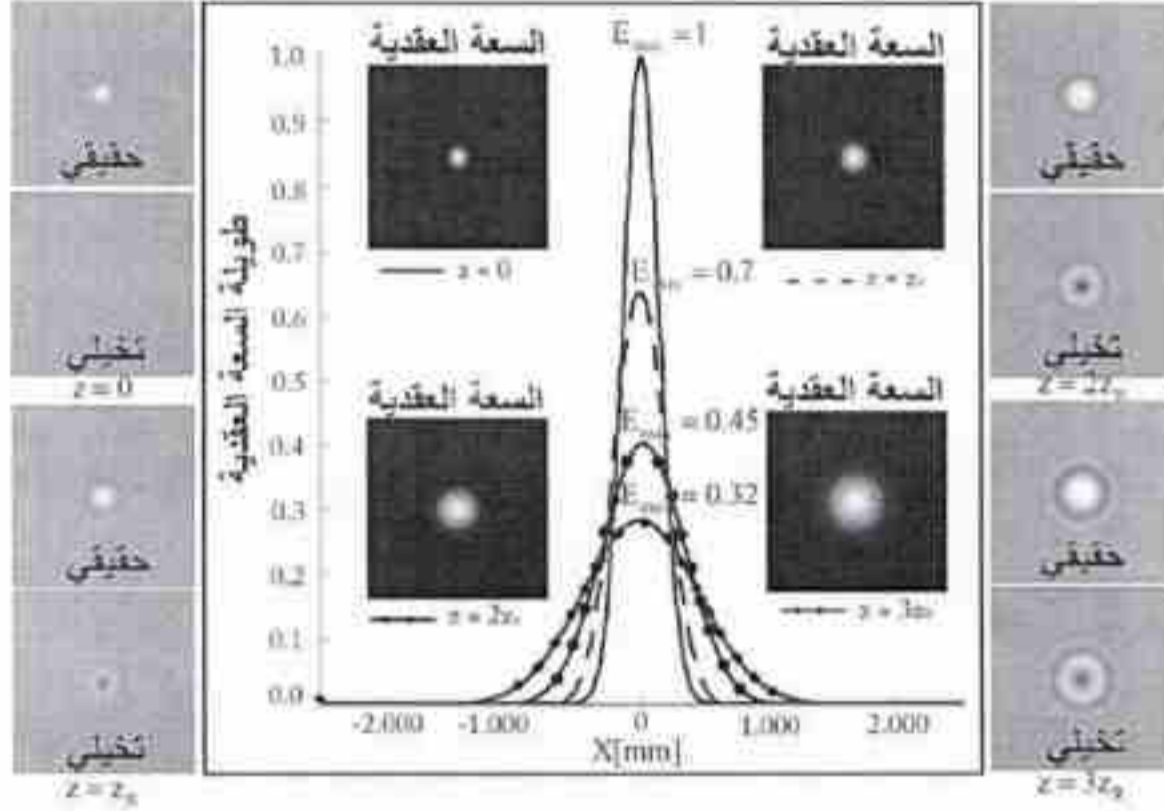
يمثل الشكل (7) الشكل الهندسي ثنائي البعد لطويلة السعة (Magnitude) العقدية للحقل الكهربائي والمعطاة بالعلاقة (24) وكذلك عرض الحزمة الليزرية للسعة العقدية (الصور عند أطراف المنحنى) ومن ثم تمثيلها بقسميها الحقيقي والنحلي (الصور الجانبية) للحزمة الغاوصية أثناء انتشارها في الفراغ الحر بطريقة الطيف الزاوي والمستخدمة في محاكاة العدية للليزر الأرجوني بطول موجة $\lambda = 514.4\text{nm}$.



الشكل (6)

نلاحظ من الشكل (7) أن عرض الحزمة الغاوسية (الذي يُعرف بأنه العرض الذي يتناقص عنده سعة الحقل إلى e^{-1} مرة من قيمته العظمى) سوف يكون في البداية صغيراً عند خصر الحزمة $z = 0$ الممثل بالخط الغامق ثم يزداد بشكل سريع كلما ابتعدنا عن خصر الحزمة الغاوسية الممثل بالخط المنقط $z = z_0$ عند مجال رأسي والخط الممثل بالدوائر $z = 2z_0$ بعد مجال رأسي والخط الممثل

بالمربعات $z = 3z_0$ عدد مسافات أبعد بكثير من مجال رايلي $z \gg z_0$ فإن الحزمة ستبدأ بالانفراج لتمثل حزمة كروية صادرة من منبع نقطي متموضع في مركز الحزمة. وعندها سوف يزداد نصف القطر $W(z)$ بشكل خطي مع المسافة z وفقاً للمعادلة:



الشكل (7)

$$W(z \gg z_R) \approx \frac{\lambda z}{\pi W_0} \approx \frac{W_0}{z_R} z \approx z\theta$$

ومن هنا نحصل على نصف زاوية الحقل البعيد للحزمة الغاوسية ويسمى أيضاً نصف انفراج الحزمة الغاوسية المعطاة بالعلاقة (9). والجدول (1) يوضح قيم نصف الانفراج الزاوي من أجل كل من الليزرين المستخدمين $He - Ne$ والأرغوني من أجل قيم مختلفة لخصر الحزمة الغاوسية.

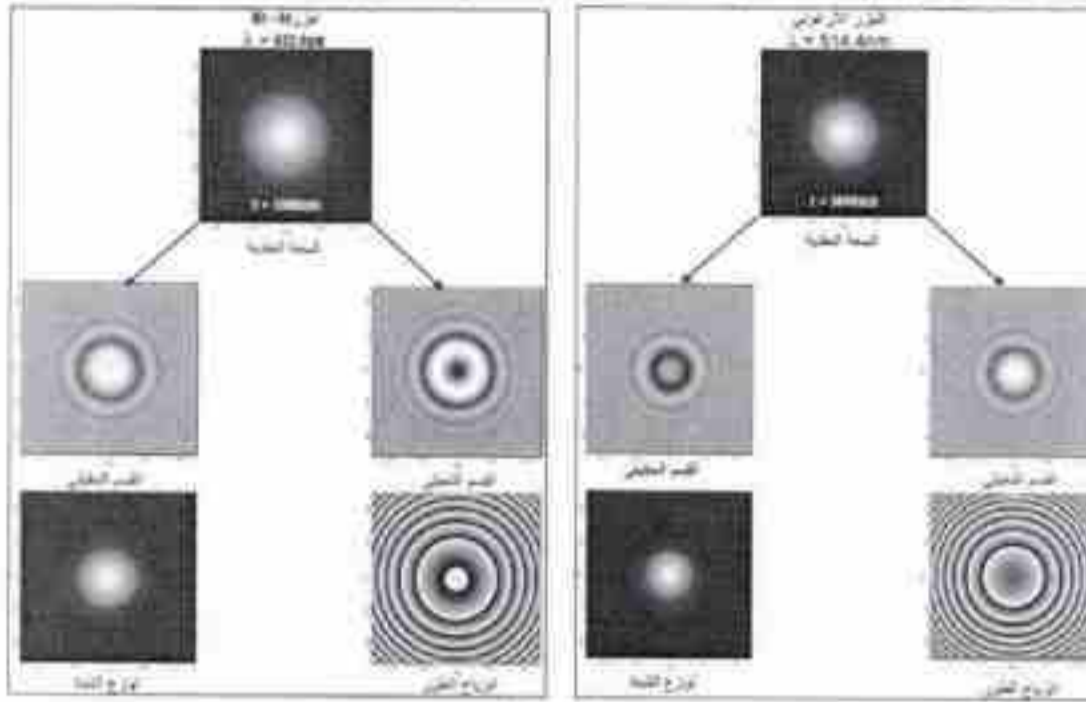
الجدول (1)

W_0 (μm)	100	200	300
He:Ne θ (m.Rad)	2.014	1.007	0.671
θ ليزر الأرغون	1.637	0.818	0.545

نلاحظ من الجدول (1) أنه كلما صغر نصف قطر خصر الحزمة الغاوصية ازدادت زاوية الانقراج، كما نلاحظ أنه كلما ازداد طول الموجة λ ازدادت زاوية انقراج الحزمة الغاوصية. وكذلك تكون طويلة سعة الحقل الكهربائي في مركزها أعظماً وفق معيار نسبة سترهل $E_0 = E_{max} = 1$ عندما $r = a$ و $z = 0$ ومن ثم تتناقص قيم السعة العظمى $E_{max} = 0.7, 0.45, 0.32$ كلما ابتعدنا عن مركز الحزمة الغاوصية، وهذا يعني بأنه كلما ابتعدنا عن محور الانتشار z فإن قيم الطور تتغير بسعة أكبر بتأجعية r وأنه ليس للسعة معنى من أجل قيم r الكبيرة لذلك تصبح السعة عميلة. كما نلاحظ أن توزع السعة العقدية للحقل الكهربائي يحافظ على شكله بحيث يملك توزعاً غاوصياً، إلا أن عرض الحزمة سوف يتسع كلما ابتعدنا عن موضع خصر الحزمة كما هو موضح في الصور عند أطراف المنحنى الشكل (7). كما نلاحظ من الشكل (7) أن توزع السعة العقدية عند خصر الحزمة الغاوصية $z = 0$ يمثل بقسمه الحقيقي فقط بينما يكون قسمه التخيلي معدوماً.

يوضح الشكل (8) النمط الأساسي TEM_{00} لانتشار الحزمة الغاوصية في الفراغ الحر على بُعد $z = 1000mm$ لكل من توزع السعة العقدية للحزمة الغاوصية ومن ثم تمثله بقسميه الحقيقي والتخيلي وكذلك توزع الشدة وانزياح الطور للحزمة الغاوصية باستخدام تقنية الطيف الزاوي والمستمدة في المحاكاة العددية لكل من الليزرين المستخدمين $He - Ne$ والأرغوني باعتبار خصر الحزمة الغاوصية $W_0 = 200\mu m$. نلاحظ من الشكل (8) أن كل من السعة العقدية والشدة تكون فيها شدة الحقل مركزة على محور الانتشار ويظهر مقطعه العرضي على شكل بقعة ضوئية واحدة دائرية مضيئة تتدرج شدتها الضوئية من المركز إلى الأطراف، أي تكون شدة الإضاءة في مركزها أعظمية، وتتناقص كلما ابتعدنا عن مركز الدائرة. كما نلاحظ من الشكل (8) أن عرض الحزمة الغاوصية لليزر الأرغوني أصغر من الليزر $He - Ne$ مما يدل على أن طول موجة الضوء المستخدم يُعتبر من إحدى أهم المعاملات الرئيسية التي تؤثر في الحزمة الغاوصية. حيث اللون الأبيض في الصور

يكافئ القيمة الأعظمية لمعة الحقل الكهربائي أو الشدة ويساوي الواحد بينما يشير اللون الأسود إلى قيم المعة أو الشدة المعنومة التي تساوي الصفر.



الشكل (8)

يوضح الشكل (9) التغيرات التي تحصل على متغيرات الحزمة الغاوسية من النمط الأساسي TEM₀₀ أثناء انتشارها في الفراغ الحر من أجل المسافات الكبيرة $z \gg z_R$ المستخدمة في المحاكاة العددية لكل من الليزرين $He - Ne$ والأرغوني باعتبار خصر الحزمة الغاوسية $W_0 = 200 \mu m$ والبعد $z = 13000 mm$ باستخدام تقنية الطيف الزاوي.

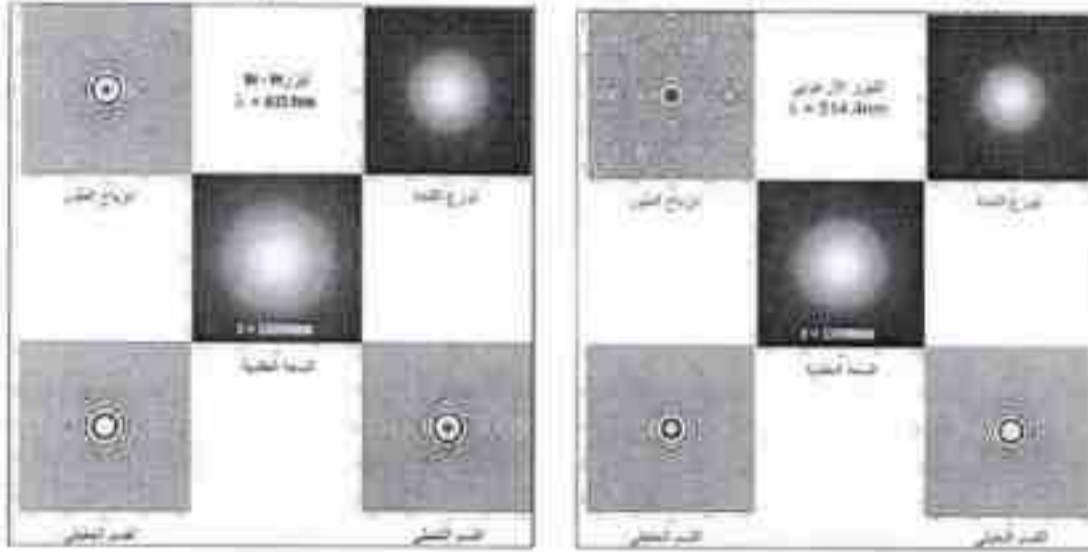
نلاحظ إن عامل الطور العرضاني من العلاقة (20) الممثلة بالحد الأسي

الثاني $\exp\left[-\frac{(x^2 + y^2)}{2R(z)}\right]$ يُعبر عن تغير قيمة انحراف الطور عن النقاط غير

المحورية في المستوي العرضاني المدروس وفق منحى الانتشار z .

يوضح الشكل (9) أيضاً أن العامل في المستوى $z = const$ ليست إلا عبارة عن سطوح تساوي الطور كلما ابتعدنا عن منحى الانتشار z ، وتمثل سطوح منحنية، ونصف قطر انحناءها هو $R(z)$ ، عندها يمكن أن نقول إن الحزمة الغاوسية لها تقريب جبهة الموجة الكروية لنصف قطر انحناء يتغير وفق منحى الانتشار z وفقاً

للعلاقة (22) ومنها نجد أن نصف قطر انحناء جبهة الموجة تصبح $R(z) \approx z$ الذي يزداد خطياً مع البعد z تماماً، والحزمة تقترب من الموجة الكروية عندها يكون انقراج الحزمة الغاوسية مشابهاً للموجة الكروية الصادرة عن منبع نقطي متموضع في مركز خصر الحزمة. كما نلاحظ من الشكل (9) أن متغير انزياح طور غوي والمعطى بالعلاقة (23) يصف انزياح طور قدره π عندما تجتاز جبهة الموجة مجال خصر الحزمة الغاوسية، أي هناك تأخير طوري في جبهة الموجة للحزمة الغاوسية بالمقارنة مع الموجة المستوية أو الموجة الكروية عندما تنتقل الحزمة الغاوسية ومن $z = -\infty$ إلى $z = \infty$ يساوي π ، وتعرف هذه الظاهرة بتأثير غوي (Guoy effect).



الشكل رقم (9)

الاستنتاجات والتوصيات:

يتبين لنا أن تقنية الطيف الزاوي قد سمحت لنا بنجاح دراسة الحزم الغاوسية أثناء انتشارها في الفراغ الحر ورسم أشكالها بين مستويين مختلفين الأول الممثل بموضع خصر الحزمة عند $z = 0$ والثاني الموازية له والممثل بأبعاد مختلفة لقيم z المتصاعدة والتي تنتشر وفق المحور z ، وذلك من خلال ترجمات تستند على مبادئ ومفاهيم انعراج الحزم الغاوسية باستخدام تابع التحويل الفراغي لانتشار الأمواج المستوية والتي تتميز بأنها توابع خاصة للانتشار الانعراجي في الفراغ الحر. هذه التقنية تبرز حقائق علمية لم تظهرها مراجع علمية سابقة مهمة بدراسة بصريات

الحزم الغاوصية. كما وجدنا من خلال الدراسة المحاكاة العددية أن طول موجة الضوء الليزري المستخدم يُعتبر من إحدى أهم المتغيرات الأساسية التي تؤثر في الحزمة الغاوصية من النمط الأساسي TEM_{00} أثناء انتشارها في الفراغ الحر، وهذا ما يؤكد أنه يمكن استخدام هذه التقنية في تطبيقات متنوعة مثل الطابعات الليزرية والألياف البصرية والمنظومات البصرية لتخزين البيانات صوتياً، وكذلك مساعدة الباحثين في تحديد نوعية المجاوية البصرية المستخدمة بهدف الحصول على أفضل نتائج للتطبيقات الليزرية، وبالاستفادة من هذه النتائج التي تُعتبر مهمة لإجراء الدراسات اللاحقة في المجاويات البصرية المستقرة.

هذا وقد ساعد هذا البرنامج الحاسوبي المكتوب بلغة *Borland C++ builder 6* لإيجاد توزيع المعمة العقدية للحزمة الغاوصية ومن ثم تمثيله بقسميه الحقيقي والتخيلي وكذلك لحساب توزيع الشدة وانزياح الطور للحزمة الغاوصية للنمط الأساسي TEM_{00} .

المراجع

1. ABRAMOCHKIN E. G.; VOLOSTNIKOV V. G., 2004- **Generalized Gaussian Beams**, J. Opt. A: Pure Appl. Opt. 6, S157-S161.
2. BACHOR, H.A., 1998- **A Guide to Experiments in Quantum Optics**, Wiley, New York.
3. BORN M.; WOLF Y. E., 1999- **Principles of Optics: Electromagnetic Theory of Propagation, Interference and Diffraction of Light**, Cambridge University Press.
4. DOMINGUEZ A.C.; ARROYO J.B.; GOMEZ J.E., NICONOFF G.M., 2010- **Numerical calculation of near field scalar diffraction using angular spectrum of plane wave's theory and FFT**, Rev. Mex. Fis. E56(2) 159-164P.
5. GENEVA: ISO 11146., 1999- **International standard organization lasers and laser-related equipment**.
6. GOODMAN J.W., 2005- **Introduction to Fourier Optics**, 3rd Ed. Roberts & Company Publishers, 491P.
7. HECHT E., 2002- **Optik**, Oldenburg Wissenschaftsverlag, ISBN
8. HODGSON N.; WEBER H., 2005- **Laser Resonators and Beam Propagation**, Springer, New York. 703P.
9. JOSEPH T.; VERDEYEN., 1996- **Laser Electronics**, 3th edition Press: University of Illinois at Urbana-Champaign, USA. 779P.
10. KOGELNIK, H., 1979- **Propagation of Laser Beams**. In Applied Optics and Optical Engineering; Shannon, R., Wyant, J.C., Eds.; Academic Press: San Diego, Vol. VII, 155-190P.
11. Lax M., 1975 – **From Maxwell to paraxial wave optics**, Phys.Rev., A, 18,1862-1870P
12. ROSEMARIE H., 2004- **Angular spectrum description of light propagation in planar diffractive optical elements**, Proc. SPIE 5456, 364 ; doi:10.1117/12.544471.
13. SALEH B. E. A.; TEICH M. C., 2007- **Fundamentals of Photonics**, 2nd Ed. John Wiley & Sons Inc., New York. 1117P.
14. Self S.A ., 1983- **Focusing of spherical Gaussian Beams**. Appl. Opt. 22, 658-661P.
15. SIEGMAN A.E., 1986- **Lasers**; Oxford University Press: Mill Valley, CA. 1283P.
16. SVELTO, O., 1998- **Principles of Lasers**, 4th Ed.; Plenum Press: New York. 375P.

**An Analytical Study and Numerical Simulation
of the Physical Properties of the Variables of
Gaussian Beams Propagation in Free Space Using the
Angular Spectrum Technique**

Dr. Alexander Talatinian
Aleppo University – Faculty of Science
Department of Physics

ABSTRACT

The knowledge of the angular spectrum of plane waves allows the accurate determination of a complex amplitude of the Gaussian beams during its propagation in free space between two planes: The first plane represented by the location of the beam waist; that is, when $z = 0$; to the second parallel plane which is represented by different locations which propagate according to the z -axis in a homogeneous and isotropic material.

One of the very effective methods of calculating the diffraction propagation of an arbitrary complex amplitude distribution – with its real and imaginary parts - is to decompose the distribution into a summation of plane waves, and to analyze all the components of these plane waves individually using the eigenvalues. This procedure is called "The Angular Spectrum Decomposition Method".

This research aims to an analytical study and a numerical simulation of the physical properties of the variables of Gaussian beams propagation for the fundamental mode TEM_{00} in free space using the angular spectrum technique for both of the following lasers: He-Ne $\lambda = 632.8nm$ and Argon $\lambda = 514.4nm$. The equations representing these variables are derived by using a pair of Fourier transformations via the angular spectrum propagation technique with spatial angular frequency variables.

This study is represented by a special computational program written with Gaussian beams diffraction for laser modes. By this algorithmic writing, the study of many optical applications can be done.

Keywords: Gaussian beam – Angular spectrum propagation –Fundamental mode TEM_{00} -Numerical simulation